

DE LA RECHERCHE À L'INDUSTRIE



Analyse de bifurcations en dynamique non-linéaire avec CAST3M

Roberto ALCORTA

Doctorant

Laboratoire d'Études de Dynamique
CEA de Saclay - DEN/DANS/DM2S/SEMT/DYN

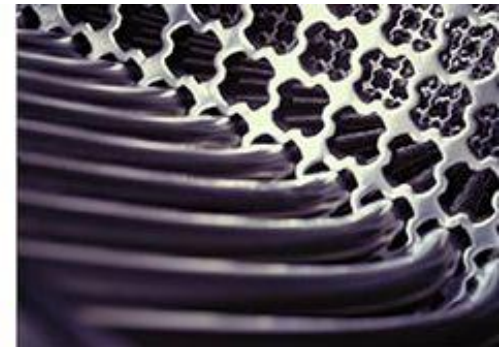
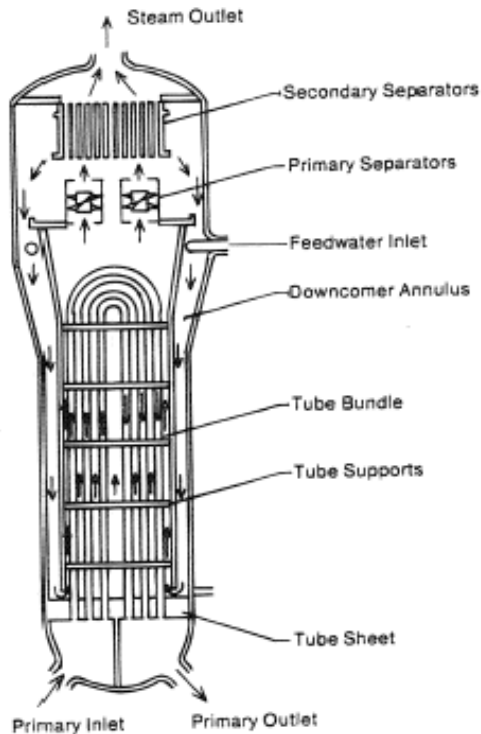
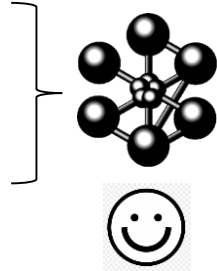


Club CAST3M 2019

Paris, 29/11

Vibrations des tubes de GV (échangeurs de chaleur pour réacteurs nucléaires) sous écoulement à haute vitesse:

- Caractère multi-physique.
- Conditions aux limites de contact frottant \Rightarrow problème fortement non-linéaire.
- Grand nombre de DDL.
- **Présence de bifurcations**.

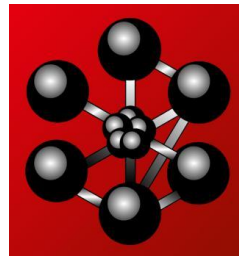


Vibrations des tubes de GV (échangeurs de chaleur pour réacteurs nucléaires) sous écoulement à haute vitesse:

- Caractère multi-physique.
- Conditions aux limites de contact frottant \Rightarrow problème fortement non-linéaire.
- Grand nombre de DDL.
- Présence de bifurcations.

OBJECTIF

Développer un opérateur CAST3M permettant l'étude des bifurcations pour les problèmes de vibrations non-linéaires.



- 1. Vibrations non-linéaires**
- 2. Méthodes numériques**
- 3. Implémentation CAST3M**
- 4. Exemples**
- 5. Perspectives**

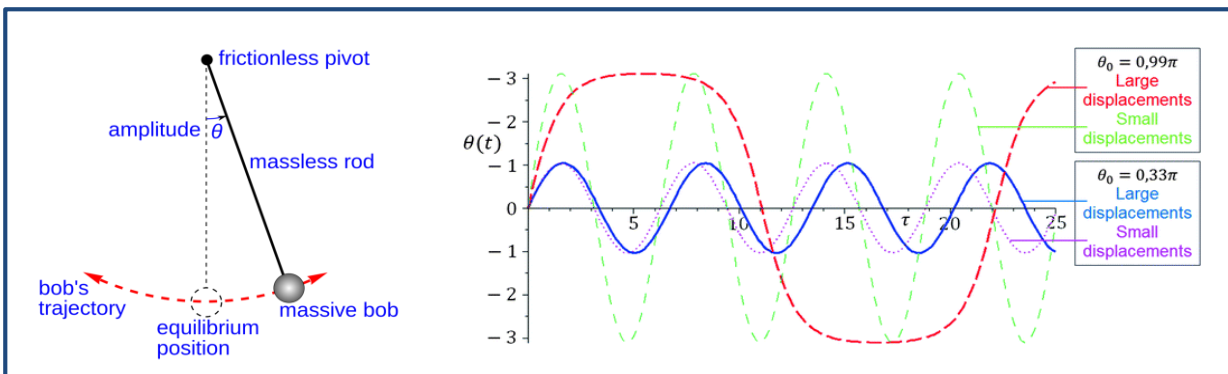
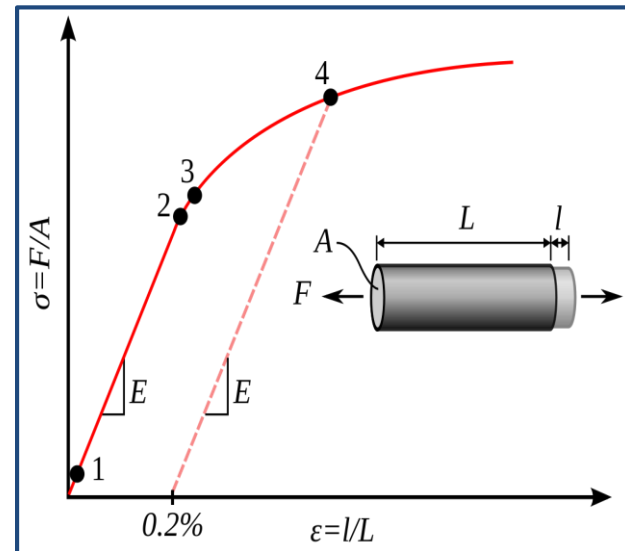
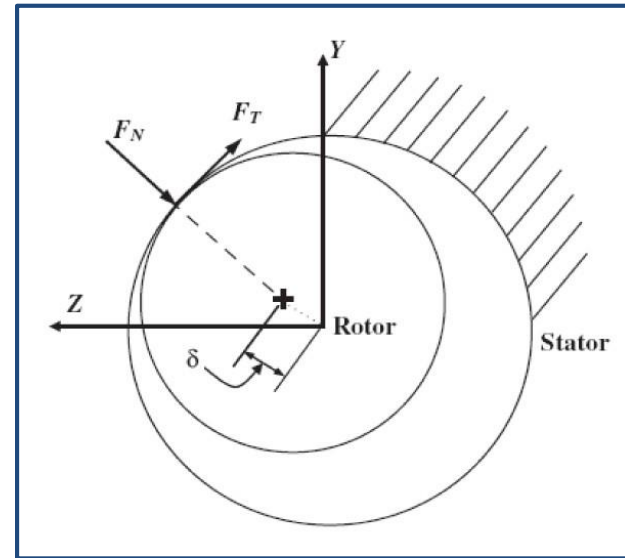
1. Vibrations non-linéaires

Équations (discrètes) d'équilibre dynamique:

$$\mathbf{M}\ddot{\mathbf{q}}(t) + \mathbf{C}\dot{\mathbf{q}}(t) + \mathbf{K}\mathbf{q}(t) + \mathbf{f}_{\text{NL}}(\mathbf{q}, \dot{\mathbf{q}}, \ddot{\mathbf{q}}, t) = \mathbf{p}(t)$$

La présence du terme $\mathbf{f}_{\text{NL}}(\sim)$ introduit une série de complications:

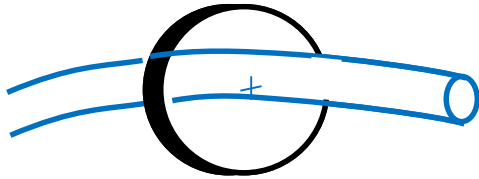
- **phénoménologiques**: dynamique extrêmement riche (non-unicité des solutions, fréquences propres variables, changements de stabilité, bifurcations, chaos, résonances isolées...)
- **numériques**: équations couplées, systèmes (très) raides...



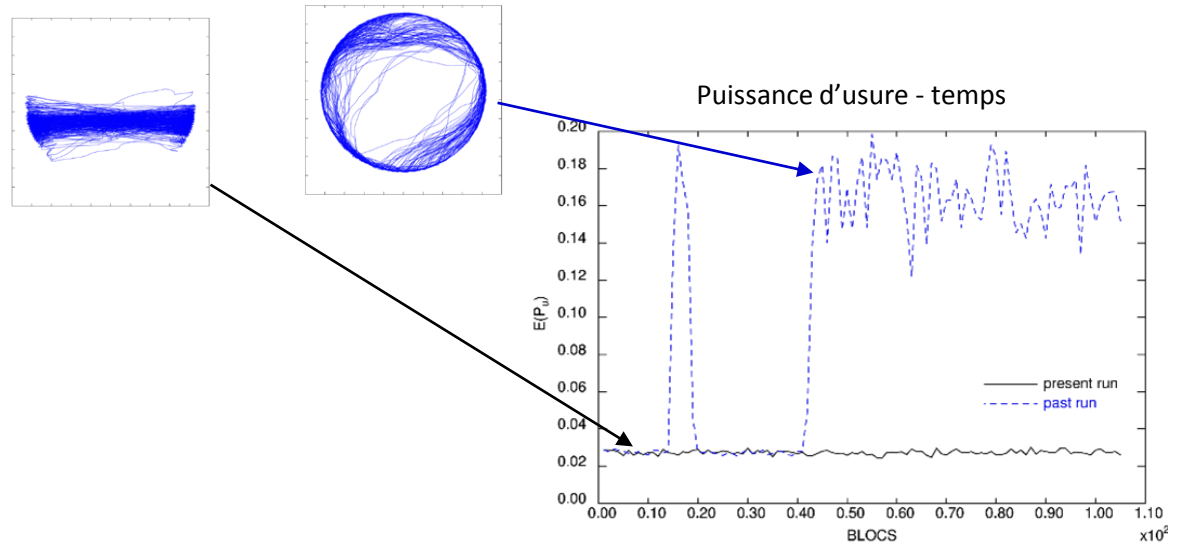
1. Vibrations non-linéaires

Approche « traditionnelle » : intégration temporelle directe des équations de mouvement.

- **Exemple:** butée circulaire excentrée



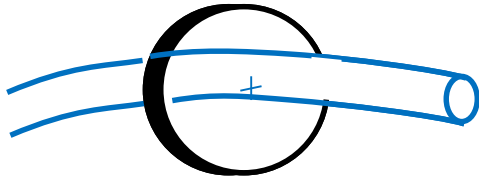
$$M\ddot{u}(t) + Ku(t) = F^{ext}(t) + F^{nl}(u, \dot{u}, \lambda, t)$$



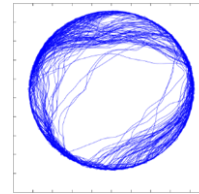
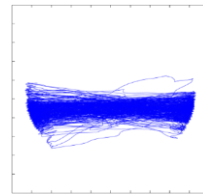
1. Vibrations non-linéaires

Approche « traditionnelle » : intégration temporelle directe des équations de mouvement.

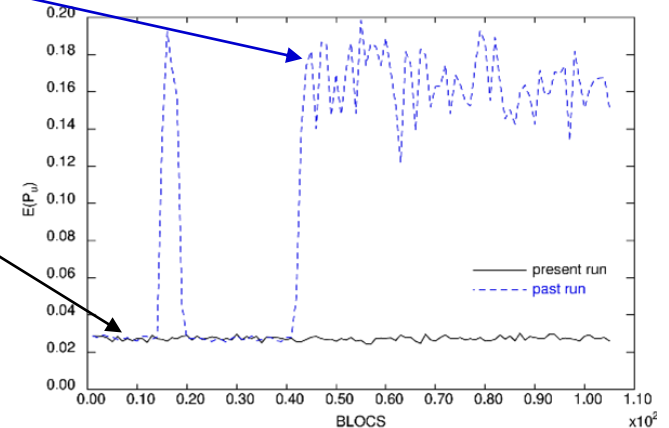
- **Exemple:** butée circulaire excentrée



$$M\ddot{u}(t) + Ku(t) = F^{ext}(t) + F^{nl}(u, \dot{u}, \lambda, t)$$

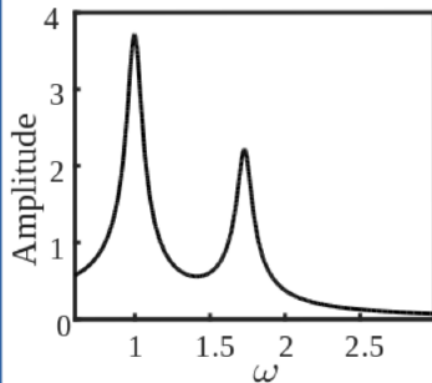


Puissance d'usure - temps

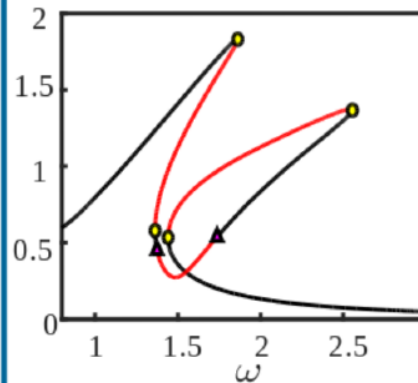


Vibrations des structures

Linéaire



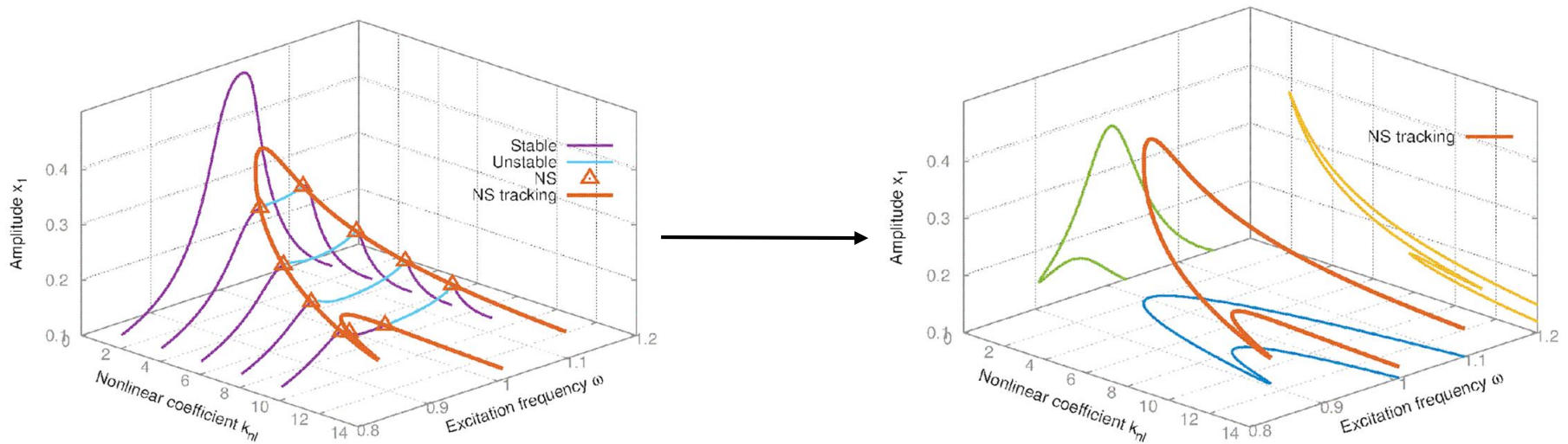
NON-LINEAIRE



1. Vibrations non-linéaires

► Approche alternative:

1. Calcul direct des régimes établis (**HBM**) : pas d'intégration temporelle.
2. Cartographie des régimes dynamiques (**continuation**): détection des bifurcations et étude de leur évolution en fonction des paramètres du système .



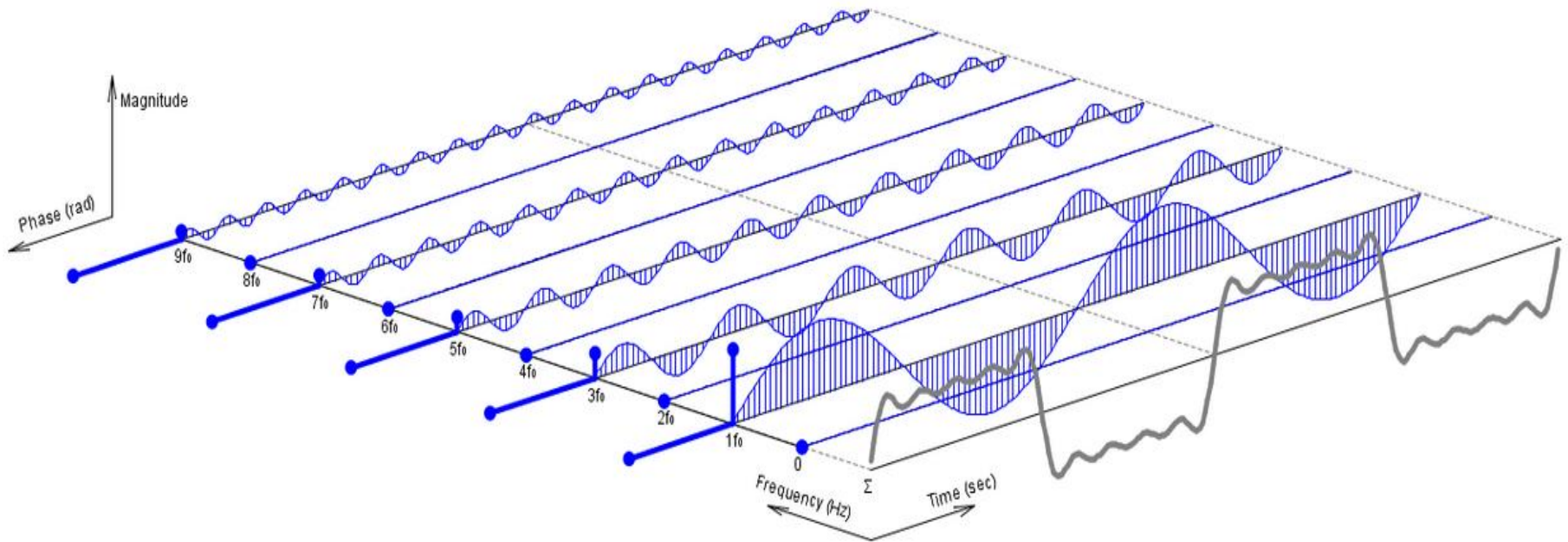
2. Méthodes Numériques

► Méthode d'Équilibrage Harmonique (HBM)

On cherche des solutions périodiques → développement des variables (déplacements, vitesses) en série de Fourier.

$$\mathbf{q}(t) = [\mathbb{T}(\omega t) \otimes \mathbf{I}_N] \mathbf{Q}$$

$$\mathbb{T}(\omega t) = [1, \cos(\omega t), \sin(\omega t), \dots, \cos(H\omega t), \sin(H\omega t)]$$



2. Méthodes Numériques

► Méthode d'Équilibrage Harmonique (HBM)

On cherche des solution périodiques → développement des variables (déplacements, vitesses) en série de Fourier.

$$\mathbf{q}(t) = [\mathbb{T}(\omega t) \otimes \mathbf{I}_N] \mathbf{Q}$$

$$\mathbb{T}(\omega t) = [1, \cos(\omega t), \sin(\omega t), \dots, \cos(H\omega t), \sin(H\omega t)]$$

$$\mathbf{R}(\mathbf{Q}, \omega) = \mathbf{Z}(\omega) \mathbf{Q} + \mathbf{F}_{\text{NL}}(\mathbf{Q}) - \mathbf{P} = \mathbf{0}$$

linéaire

non-linéaire

constant

Systeme **algébrique** non-linéaire → résolution itérative (NR)

Remarque: en général, pas d'expression analytique pour $\mathbf{F}_{\text{NL}}(\mathbf{Q})$.

Or, les forces dans le temps $\mathbf{f}_{\text{NL}}(\mathbf{q}(t))$ sont souvent simples.

→ allers-retours entre les deux domaines par FFT/IFFT

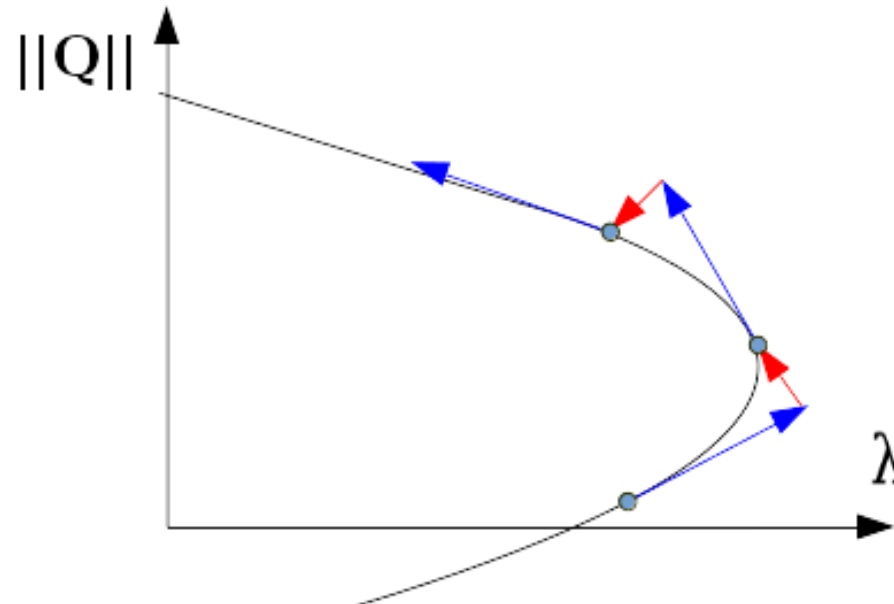
2. Méthodes Numériques

► Continuation par (pseudo-)longueur d'arc

Dépendance continue des EDM avec leurs paramètres: $\mathbf{Q} = \mathbf{Q}(\lambda)$

→ une petite variation de λ implique une petite variation de \mathbf{Q} (Th. de la fonction implicite).

Construction pas à pas de la courbe $\mathbf{Q}(\lambda)$

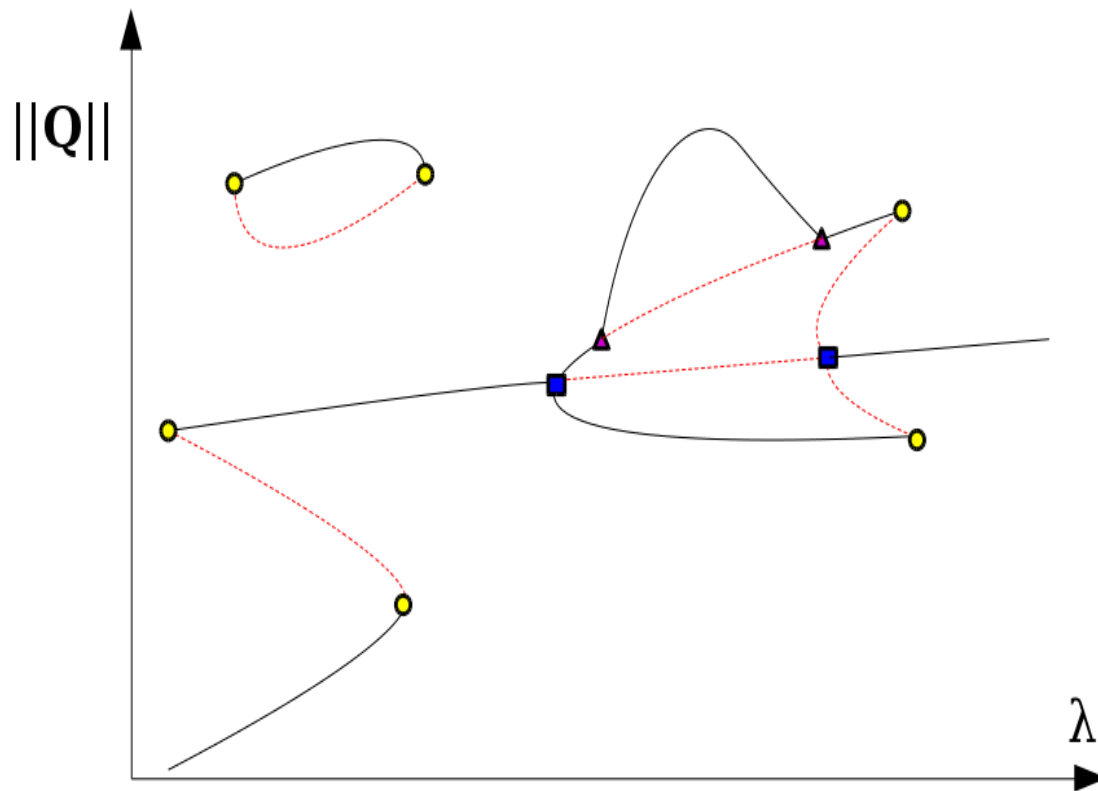


- Il faut une évaluation de **stabilité** pour chaque solution convergée: théorie de Floquet.

2. Méthodes Numériques

► Bifurcations

Les conditions du TFI ne sont pas respectées aux points de **bifurcation**: coïncidence de plusieurs branches de solutions \Rightarrow matrice tangente \mathbf{J}_Q singulière.



En étudiant le spectre de \mathbf{J}_Q , on distingue entre différents types de bifurcations:

- Point Limite
- Brisure de symétrie
- ▲ Hopf secondaire (quasi-périodique)
- ▼ Doublement de période

Chaque bifurcation peut être caractérisée, localisée (NR) et continuée.

2. Méthodes Numériques

Exemple: Système 2-ddl à couplage faible en résonance interne 1:1 [Vakakis, 1992].

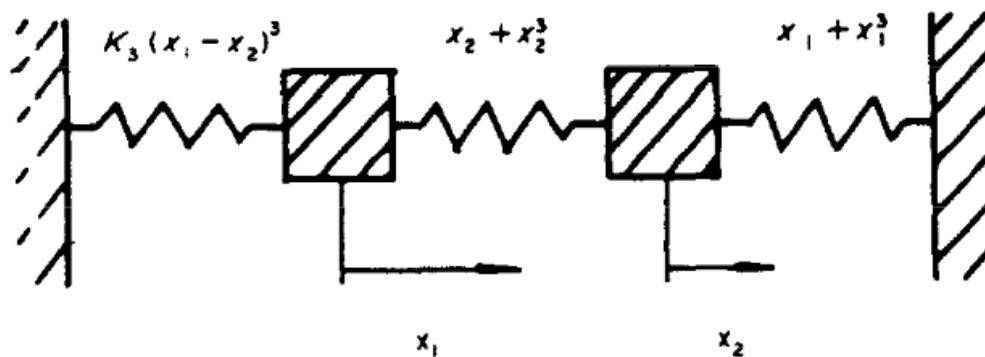


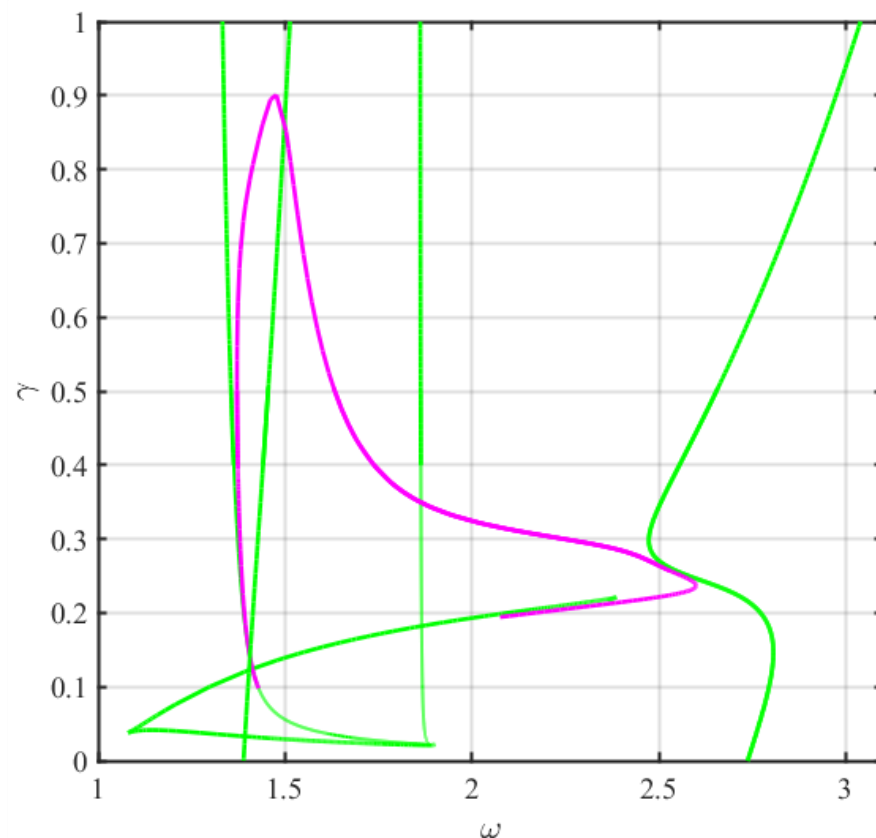
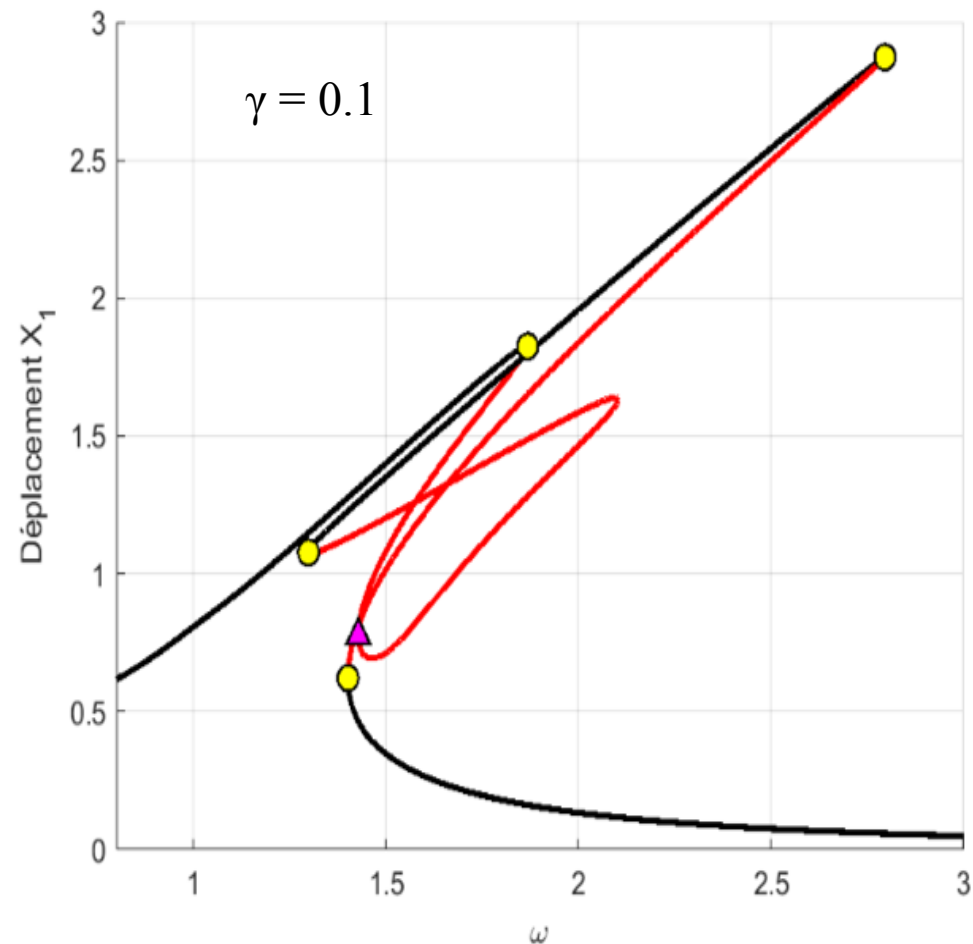
Fig. 1. The non-linear oscillator under consideration.

$$\ddot{x}_1 + x_1 + x_1^3 + K(x_1 - x_2)^3 = 0$$

$$\ddot{x}_2 - K(x_1 - x_2)^3 + x_2 + x_2^3 = 0.$$

2. Méthodes Numériques

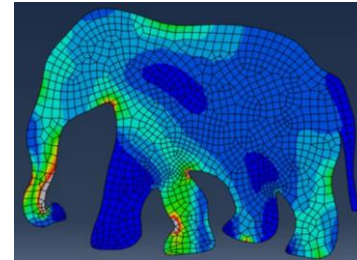
Exemple: Système 2-ddl à couplage faible en résonance interne 1:1 [Vakakis, 1992].



3. Implémentation CAST3M

► Pourquoi CAST3M?

- Traitement efficace de systèmes à géométries quelconques.

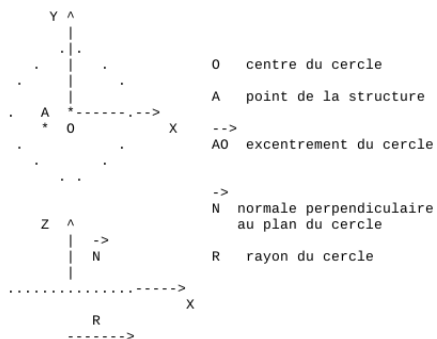


$$M\ddot{q}(t) + C\dot{q}(t) + Kq(t) + f_{NL}(q, \dot{q}, \ddot{q}, t) = p(t)$$

- Librairie de non-linéarités (“liaisons”) déjà existante ⇒ opérateur DYNE.

```
$$$$ DYNE NOTICE BP208322 18/12/20 21:15:42 10048
DATE 18/12/20
```

```
Operateur DYNE Voir aussi : VIBR PJBA
PSMO RECO
EVOL TRADUIRE
BASE CINIMOD
```



- ```
4. DEFINITION DES LIAISONS }
4.1 La liaison POINT_PLAN
4.2 La liaison POINT_POINT base B
4.3 La liaison POINT_CERCLE base B
4.4 La liaison POINT_CERCLE_FROTTEMENT base B
4.5 La liaison POINT_PLAN_FROTTEMENT base B
4.6 La liaison POINT_POINT_FROTTEMENT base B
4.7 La liaison CERCLE_CERCLE_FROTTEMENT base B
4.8 La liaison CERCLE_PLAN_FROTTEMENT base B
4.9 La liaison PROFIL_PROFIL_INTERIEUR base B
4.10 La liaison PROFIL_PROFIL_EXTERIEUR base B
4.11 La liaison POINT_PLAN_FLUIDE
4.12 La liaison COUPLAGE_DEPLACEMENT base A
4.13 La liaison COUPLAGE_VITESSE base A
4.14 La liaison POLYNOMIALE base A
4.15 La liaison POINT_CERCLE_MOBILE base B
4.16 La liaison POINT_POINT_DEPLACEMENT_PLASTIQUE base B
4.17 La liaison POINT_POINT_ROTATION_PLASTIQUE base B
4.18 La liaison LIGNE_LIGNE_FROTTEMENT base B
4.19 La liaison LIGNE_CERCLE_FROTTEMENT base B
4.20 La liaison PALIER_FLUIDE base B
```

## 3. Implémentation CAST3M

### ► Utilisation de l'opérateur DYNH

1. Définition du système (géométrie/chargements/liaisons/propriétés) identique à celle de DYNE.
2. Appel à VIBR : projection du problème sous base modale.
3. Paramètres de continuation.

```
* Paramètres numériques pour la continuation
PAR_NUM = TABLE 'PAR_CONT';
PAR_NUM . 'DSO' = 0.01;
PAR_NUM . 'DSMAX' = 0.05;
PAR_NUM . 'DSMIN' = 1.E-3;
PAR_NUM . 'ITERMOY' = 3.4;
PAR_NUM . 'ITERMAX' = 30;
PAR_NUM . 'ANGMIN' = 0.;
PAR_NUM . 'ANGMAX' = 50.;
PAR_NUM . 'ISENS' = -1.;
PAR_NUM . 'NBPAS' = 800;

NHBM = 8;
NFFT = 256;

VEC_INIT = TABLE 'INITIAL';
Wext = 0.4;
VEC_INIT . 'RANGEB' = Wext ;
VEC_INIT . 'RANGEH' = 4.0 ;
VEC_INIT . 2 = 0.0;
```

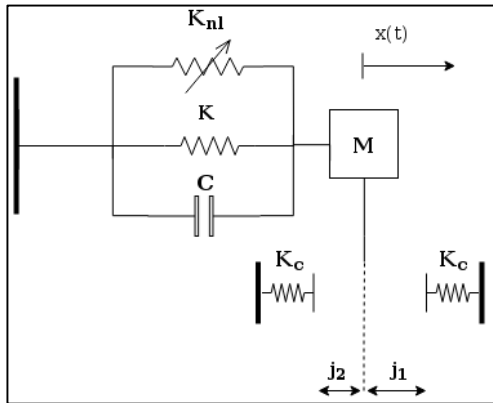
1. Appel à DYNH.



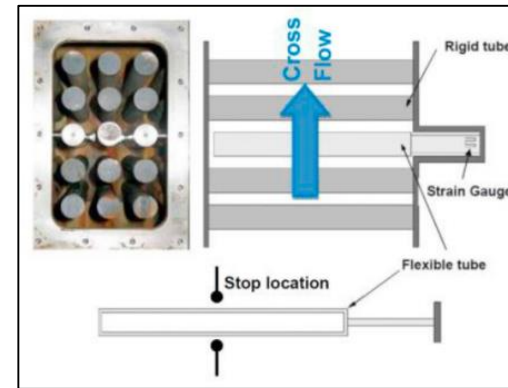
## 4. Exemples d'application

Problème industriel: vibrations des tubes de GV sous écoulement fluide.  
On étudie des systèmes simplifiés de plus en plus complexes.

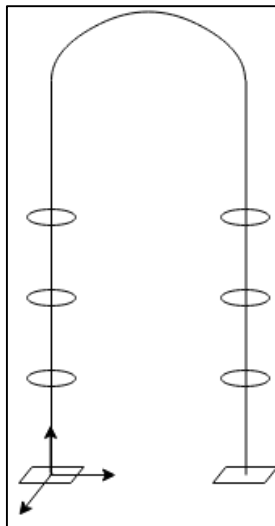
1.



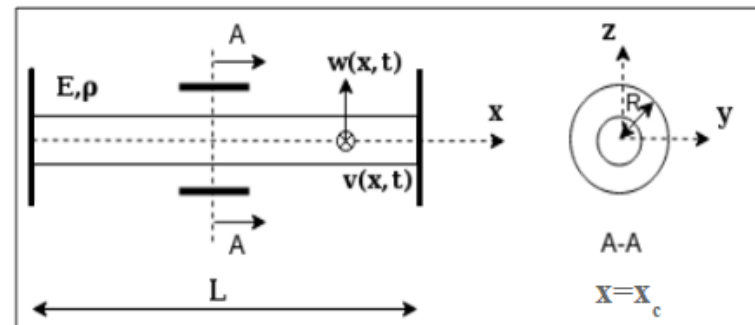
2.



4.

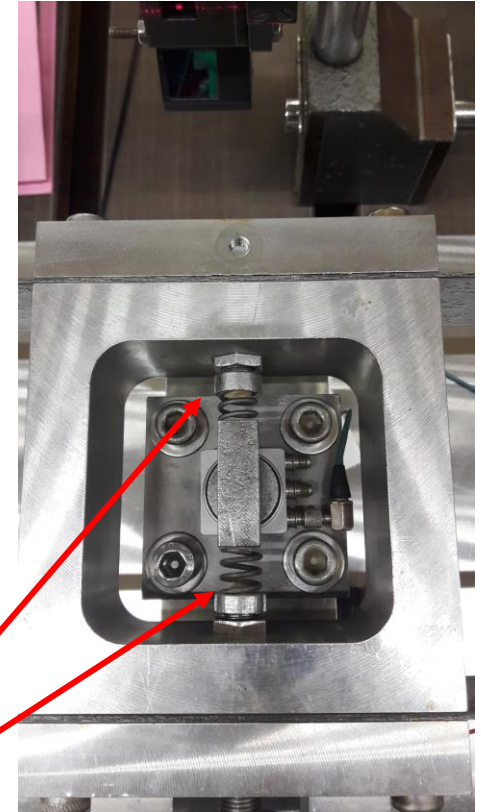
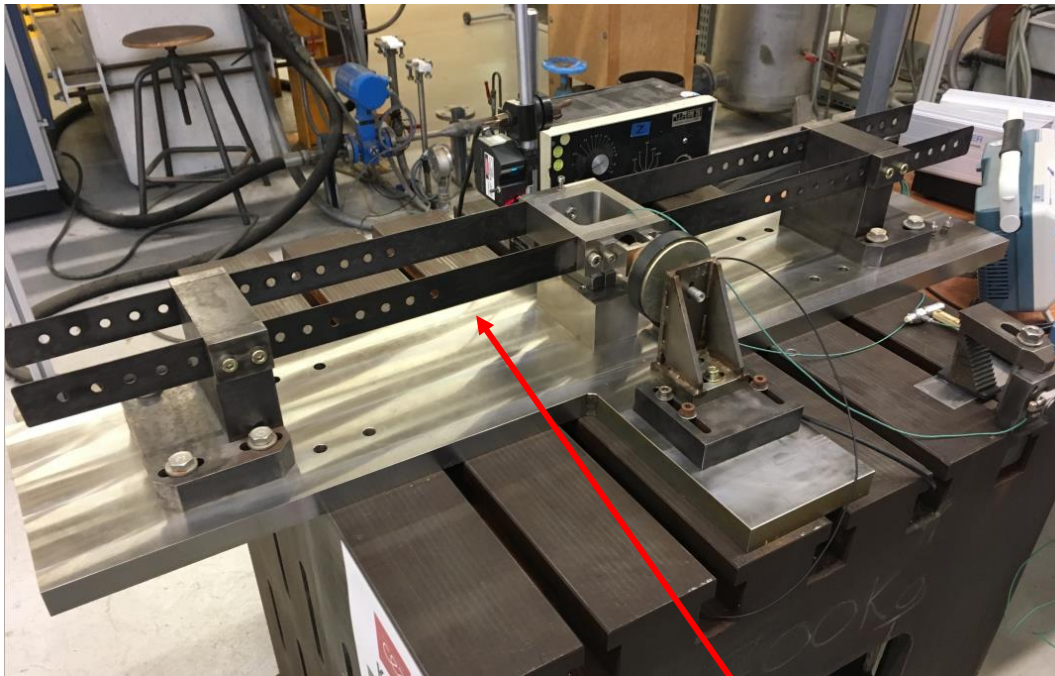


3.



## 4. Exemples d'application

### 1. Maquette "KOALA"

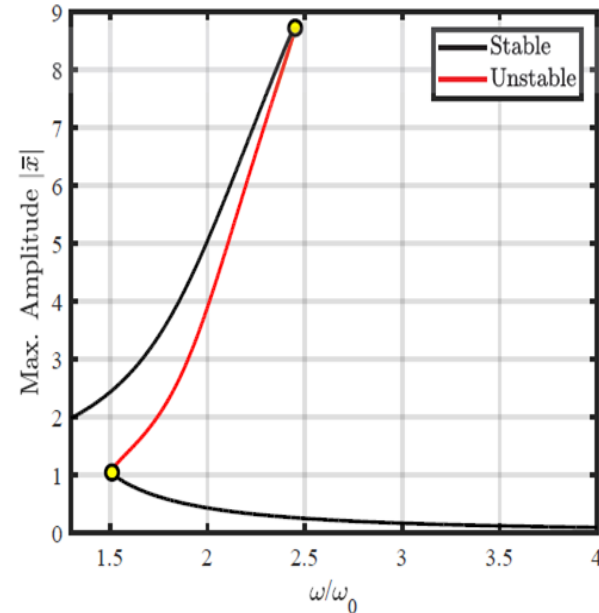


$$\ddot{q}(\tau) + 2\zeta\dot{q}(\tau) + q(\tau) + \bar{\alpha}q(\tau)^3 + \bar{F}_c(q(\tau)) = p\text{Sin}\left(\frac{\omega}{\omega_0}\tau\right)$$

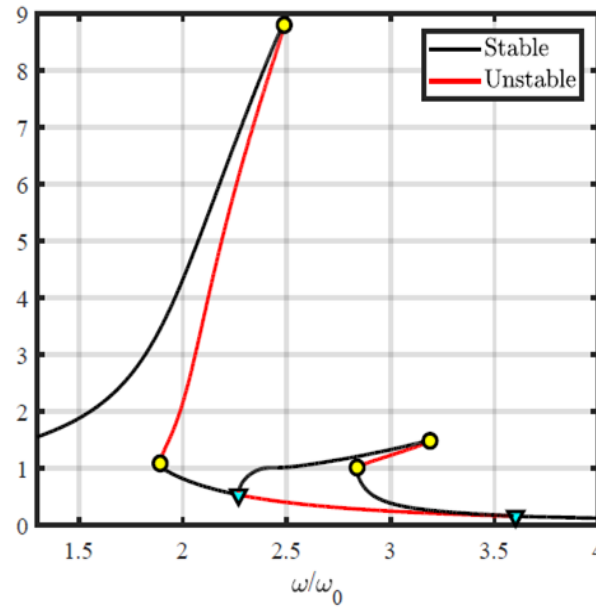
$$\bar{F}_c(q(\tau)) = \begin{cases} \bar{K}_c(q(\tau) - 1) & q(\tau) > 1 \\ \bar{K}_c(q(\tau) + j) & q(\tau) < -j \\ 0 & \text{sinon} \end{cases}$$

# 4. Exemples d'application

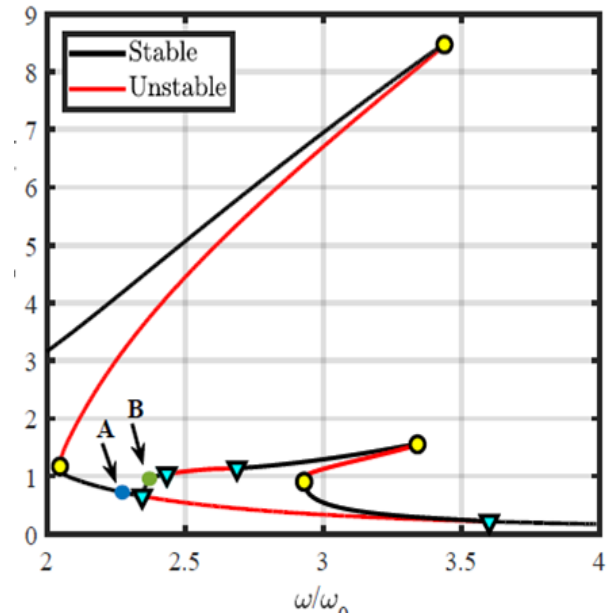
## 1. Maquette "KOALA"



Cas symétrique



Cas dissymétrique:  
excitation faible

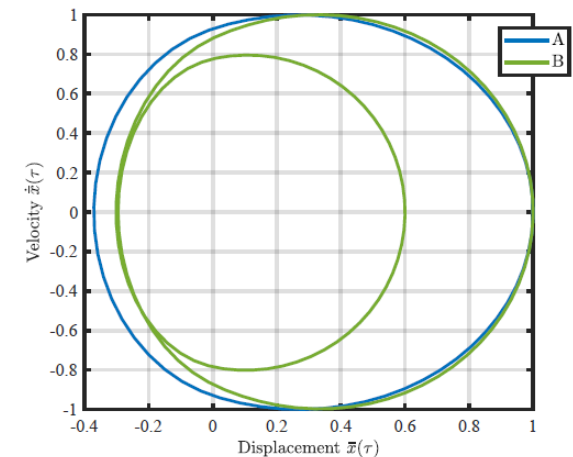


Cas dissymétrique:  
excitation forte

CAST3M:

- liaison "Point\_Plan"
- liaison "Couplage\_Déplacement"

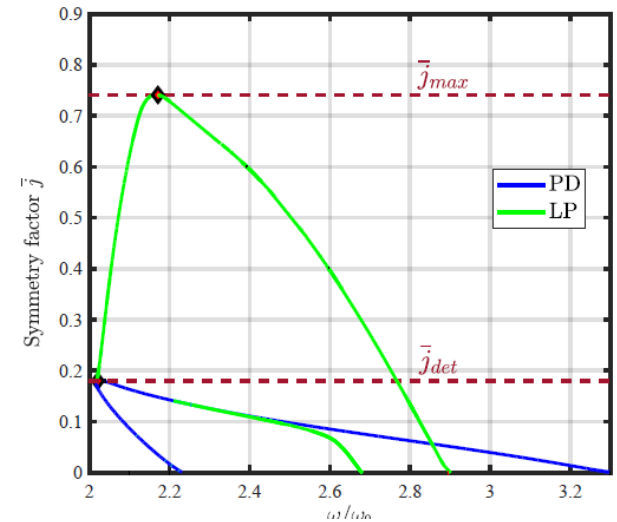
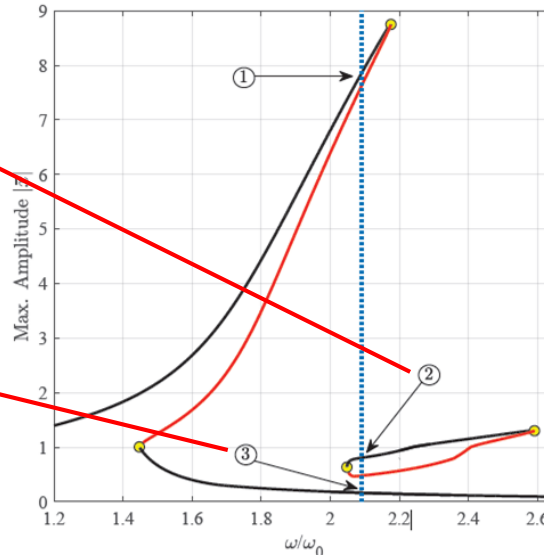
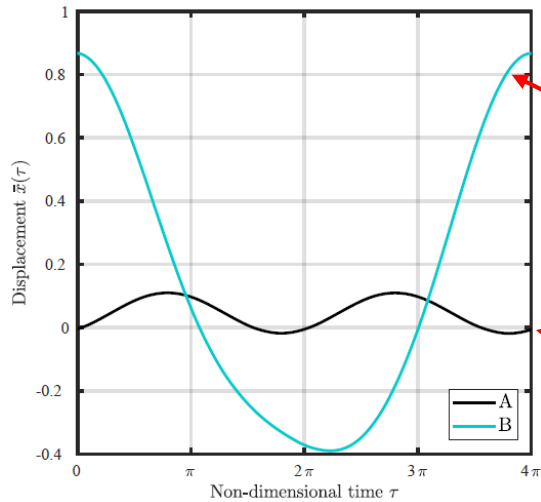
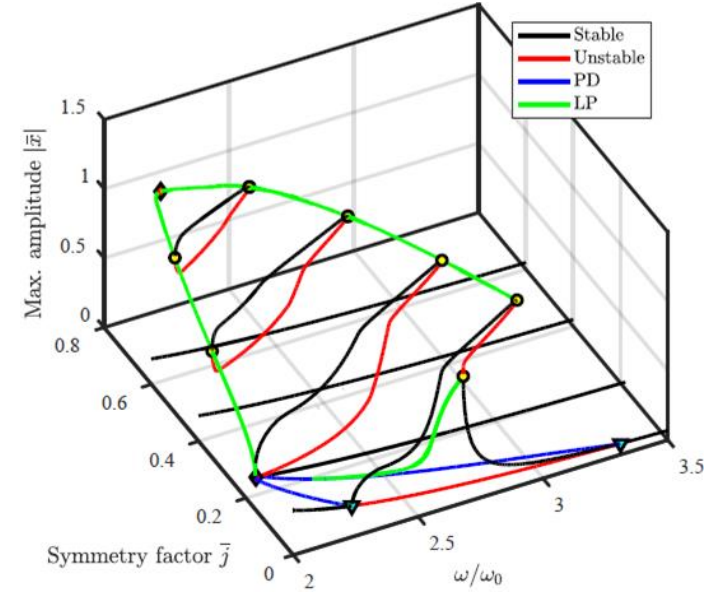
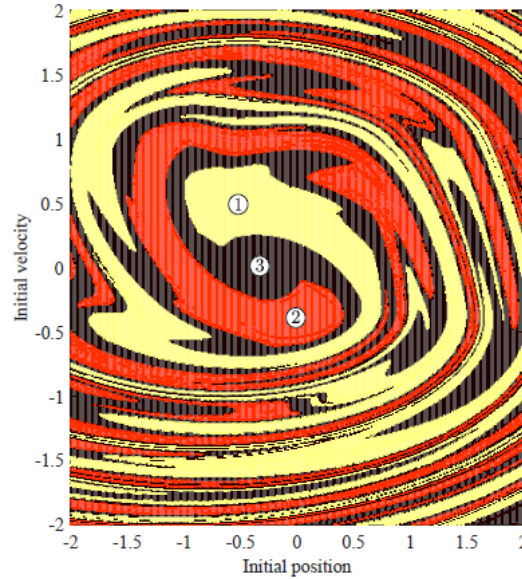
Alcorta, R. et al. (2019). Period doubling bifurcation analysis and isolated sub-harmonic resonances in an oscillator with asymmetric clearances. *Nonlinear Dynamics*.  
<https://doi.org/10.1007/s11071-019-05245-6>



# 4. Exemples d'application

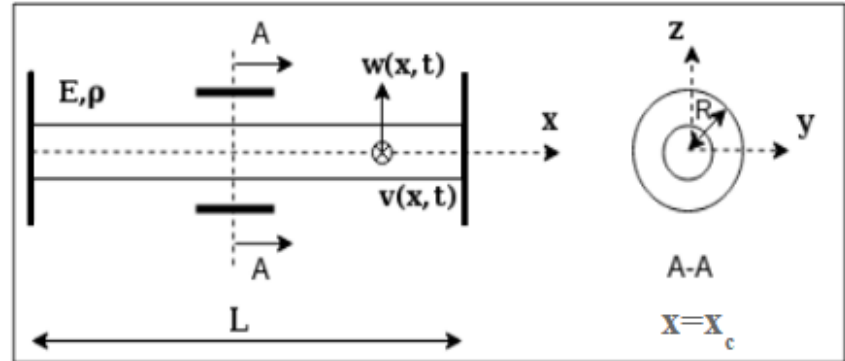
## 1. Maquette "KOALA"

Formation de courbes de résonance (2T) isolées.



## 4. Exemples d'application

### 2. Maquette "DINGO"



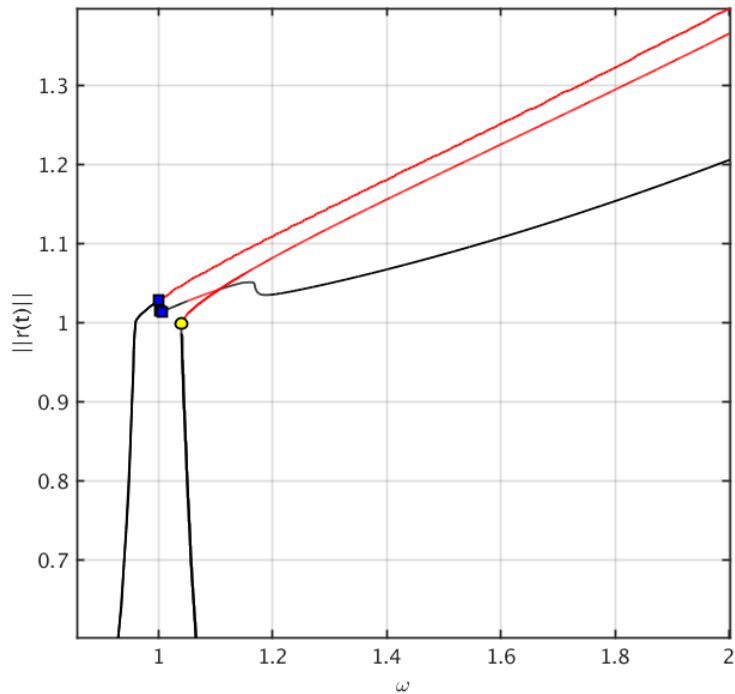
Butée circulaire  
(contact frottant)

CAST3M: liaison **"Point\_Cercle\_Frottement"**

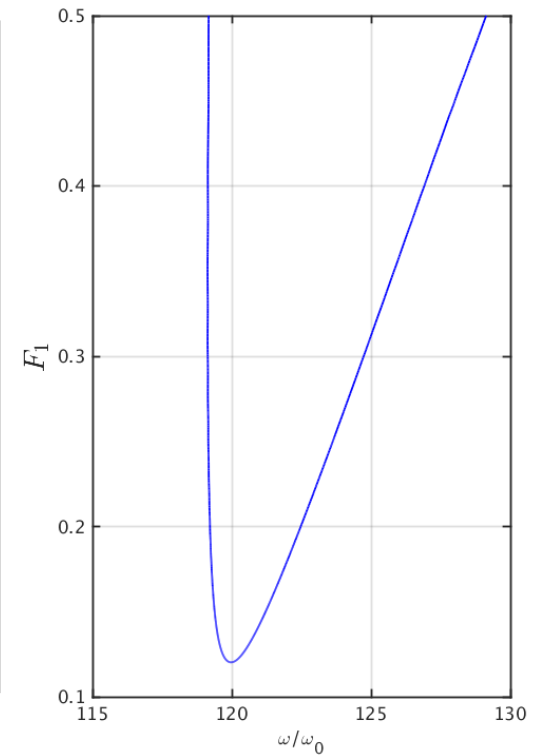
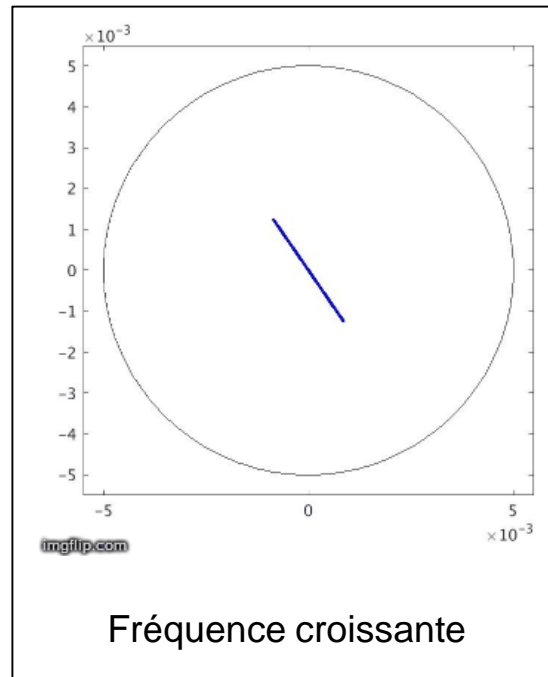
## 4. Exemples d'application

### 2. Maquette "DINGO" (2 modes de flexion)

Brisure de symétrie: apparition de régimes orbitaux.



Forçage sur le premier mode:  $F_1 \cos(\omega t)$



# Perspectives

- Généralisation du code:
  - non-linéarités géométriques
  - branches quasi-périodiques
  - bifurcations de codimension élevée
- Optimisation.
- Méthodes alternatives de résolution: collocation orthogonale/shooting/ondelettes...
- Mise en ligne.



**Merci.**